

選択吸着樹脂の研究(第1報)

ポリアミン系アニオン交換樹脂の酢酸化による
キレート樹脂の合成およびその選択性について

小坂勇次郎
清水明彦
松本隆吉

Studies on Selective adsorbent resins (1)

Synthesis of Chelate resins from Polyamine-type
Anion exchange resins and their Selective properties.

Yuziro Kosaka
Akihiko Shimizu
Takayoshi Matsumoto

Synopsis; For the purpose of taking by adsorption Calcium-ion and Magnesium-ion selectively from the sea-water Chelate resins, which had the structure of ethylenediamine tetraacetate, were synthetized by the condensation of Polyamine-type anion exchange resins with mono-chlor acetic acid (3) in alkali solutions.

In this paper, the condensation of Amberlite IR-4B, IR-45 with mono-chlor acetic acid, and properties of these condensation products were described as part 1.

At first, the condensation of IR-4B, IR-45 with mono-chlor acetic acid (A) was found to have better result with regard to the capacity of the resins produced than the method of the hydrolysis of the nitrile (B) (4) made by the reaction of hydrogen cyanide and formaldehyde with resins containing amino-groups.

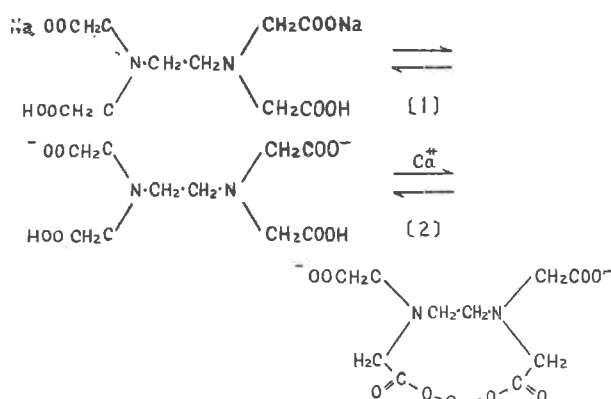
The resin made by the method (A) from Amberlite IR-4B has the following properties; Cation exchange capacity : 5.65 meq. Ca^{++}/g dry resin in 1.05 N CaCl_2 solutions, 1.87 meq. $\text{Ca}^{++}+\text{Mg}^{++}/\text{c.c.}$ wet resin in the sea-water.

Selectivity co-efficient : $K_{\text{Na}}^{\text{Ca}} \approx 3.7$ in the sea-water. Effective operating pH range : 3-14.

1. まえがき

アミン類を酢酸化したので N.T.A., E.D.T.A. などがあるが、これは、 Ca^{++} , Mg^{++} の分析試薬としてよく知られている。このうち、E.D.T.A. は、次のような機構のもとに Ca^{++} , Mg^{++} を吸着していると考えられる(1)。

すなわち、E.D.T.A. の二-ナトリウム塩は、まず [1] の反応で水に溶解している。この時、カルボン酸の水素原子は、窒素がローンペア電子を有するため



に、窒素原子に引き寄せられ、一種の水素結合で不安定な五員環を形成している。ここに二価イオンが入ってくると〔2〕の反応をおこなって、きわめて安定な電離度の低い錯塩を生成する。Schwartzzenbachによれば、上記反応の平衡恒数は、 Ca^{++} で 3.6×10^{10} , Mg^{++} で 5×10^8 である(1)。

このE.D.T.A.の Ca^{++} , Mg^{++} に対する選択性に着目して、これをフェノールホルマリン系樹脂の合成の際に混合して、 Ca^{++} , Mg^{++} 選択吸着樹脂をすでにV. A. Klyachko (2)が合成しているが、その構造がはつきりしていない。著者らは、直接ポリアミン系アニオン交換樹脂を酢酸化することにより、キレートを作る基を高分子構造に導入することにより、 Ca^{++} , Mg^{++} 選択吸着樹脂を合成し、海水中の Ca^{++} ,

Mg^{++} を選択吸着させることにより、海水精製をすることができるのではないかという想定のもとに、研究を進めた。今回は、その選択吸着性のいくつかを検討したので、その結果について報告する。

2. 試料および実験条件

〔1〕実験方法

(1) ポリアミン系アニオン交換樹脂の酢酸化物の合成

1) 原料樹脂

原料樹脂として、Amberlite IR-4B, IR-45 (Rohm & Haas Co 製) の二種を用いた。その性質は、表1の通りである。

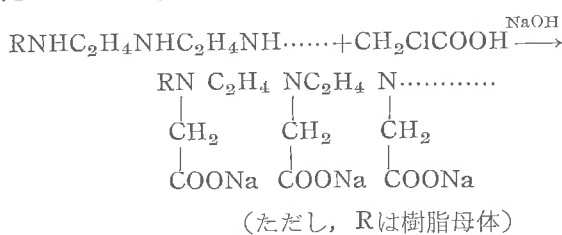
表1 使用したアニオン交換樹脂の性質

原料樹脂	密度 lb/ft ³	含水率%	有効径 mm	交換容量		最高温度°F	pH有効範囲	最高膨潤度(%)
				meg/g	meg/cc			
IR-4B	35	62.8	0.4 ~ 0.55	5.23	3.0	105	0 ~ 7	25
IR-45	42	39.5	0.35~0.50	5.0	2.0	212	0 ~ 7	15

註：交換容量は、1.05 N CaCl_2 溶液中にて測定 (meq Ca^{++} /gr dry resin)。meq Ca^{++} + Mg^{++} /cc は海水中での単位容積(樹脂)あたりの交換容量である。(meq. Ca^{++} + Mg^{++} /cc wet resin)

2) 合成法

E.D.T.A. と同一の合成法(3)(4)を適用したが、モノクロール酢酸との縮合により合成する方法(3)で、比較的良好な結果が得られた。すなわち、原料樹脂、モノクロール酢酸、10%苛性ソーダ溶液を、表2の割合で混合し、60~70°C 7時間反応後、水洗、風乾し、赤褐色、または、黄白色の粒状生成物を得た。(表2)



(2) 性能の測定

1) 濃度による Ca^{++} 吸着量の変化

Ca^{++} の溶液としては、 CaCl_2 溶液を用い、 Ca^{++} 濃度は、次の0.06, 0.11, 0.17, 0.34, 1.7 meq/ccについておこない、各濃度の溶液中の総 Ca^{++} 量は、それぞれ17megにして実験をおこなった。

45-No.1, 4B-No.3のNa型樹脂約1gを精秤し、前記濃度の CaCl_2 溶液中に一昼夜放置後、溶液中の残量の Ca^{++} を、0.01M, E.D.T.A.試薬で定量し、その吸着量をこれより算出した。(表3)

2) 平衡時における溶液中の Na^+ と Ca^{++} との当量比と Ca^{++} 吸着量の関係

一定濃度の CaCl_2 溶液中の Na^+ 濃度をいろいろ変えて、 $\text{Na}^+/\text{Ca}^{++}$ の当量比の0, 0.95, 4.75, 9.5, 14.25, のかん水を作り、おののおの総 Ca^{++} 量を11meqになるように採取し、これらの溶液中に、45-No.1, 4B-No.3のNa型樹脂約1gを精秤して、Na型、またはH型にしたものと加え、一昼夜放置後、溶液中の残量の Ca^{++} を、0.01M E.D.T.A.試薬で定量し、これより、 Ca^{++} 吸着量を算出した。この時のpHは、Na型の時は、5.5~6.0, H型の時は、2.8~3.0であった。

選択係数 $K_{\text{Na}}^{\text{Ca}}$ は次式により算出した。



(ただしRは、樹脂母体)

$$K_{\text{Na}}^{\text{Ca}} = \frac{[\text{Ca}^{++}]_r^{1/2}/[\text{Na}^+]_r}{[\text{Ca}^{++}]_s^{1/2}/[\text{Na}^+]_s}$$

(1) (単位: $\sqrt{\text{g/cc}}$)

ただし、[]_rは、平衡時における樹脂中のイオン濃度 meq/g dry resin, []_sは、平衡時における溶液中のイオン濃度 meq/cc

(表4, 図1, 2)

3) 海水中の Mg^{++} , Ca^{++} 吸着量のpHによる変化
45-No.1, 4B-No.3のNa型樹脂約1gを精秤して、Na型、または、H型にしたものを、生海水(pH=8.3~8.4, $Ca^{++}=0.019\sim0.0206\text{ meq/cc}$, $Mg^{++}=0.091\sim0.099\text{ meq/cc}$, $Na^+=0.448\text{ meq/cc}$)中に入れ、さらに1N塩酸を加え、pHを調節し、このまま一昼夜放置後、0.01M E.D.T.A. 試薬で、溶液中の残量の Ca^{++} は、Murexide指示薬を、 Mg^{++} は、Eriochrome Black T指示薬を用いて定量し、これより、 Ca^{++} , Mg^{++} の吸着量を算出した。pHは、平衡後測定した。(図3, 4)

4) 交換速度

樹脂は、4B-No.3のNa型を用い、溶液は、海水を用い、測定には、カラム(10mmφ×132mm)を用いた。

樹脂約10c.c.になるような一定量を精秤し、カラムに充填し、上部より組成一定の海水を、一定流速のもとに流下し、下部よりの流出液を、各時間ごとの溜分に分け、0.01M E.D.T.A. 試薬で、流出液中の残量の Ca^{++} , Mg^{++} を定量し、これより、 Ca^{++} , Mg^{++} の吸着量を算出した。(図5)

〔2〕実験結果および考察

表2 醋酸化反応条件および性能

試料記号	原料樹脂名	樹脂g	$CH_2ClCOOH$ M	NaOH 9%aq. M	収量g	交換容量	
						meq/g	meq/cc
4B-No.1	IR-4B	7.56	0.32	0.75	7.83	2.95	—
4B-No.2	〃	7.56	0.42	1.00	8.20	3.25	—
4B-No.3	〃	15.12	1.59	3.75	18.40	5.65	1.87
45-No.1	IR-45	30.20	1.60	3.80	34.50	2.05	1.15

註：交換容量は1.05N $CaCl_2$ 溶液中にて測定(meq $Ca^{++}/g\text{-dry resin}$)。

meq $(Ca^{++}+Mg^{++})/cc$ は、海水中での単位容積(樹脂)あたりの Ca^{++} , Mg^{++} の交換容量である。(meq $Ca^{++}+Mg^{++}/cc\text{ wet resin}$)。

(1) 合成条件および性能

アミン類の酢酸化には、モノクロール酢酸(3)でおこなう方法以外に、青酸化水素とホルムアルデヒドでニトリル化合物となし、これを加水分解しておこなう方法(4)もあるが、この方法では、吸着容量0.4 meq $Ca^{++}/g\text{ dry resin}$ のものを得たにすぎなかつたので、前者の方法でおこなつた。原料樹脂のIR-4B, IR-45は、構造が明らかでないので、No.1, No.2, No.3と三回実験をおこなつて、実験的にモノクロール酢酸の量を求めた。

原料樹脂のアニオン交換容量は、IR-4Bは、5.23 meq/g dry resinで、これに対し、この酢酸化物4B-No.3は、そのカチオン交換容量が5.65 meq $Ca^{++}/g\text{ dry resin}$ で、ほぼ一致するから、未反応の $-NH_2$, $=NH$ はなく、完全に酢酸化されていることがわかる。一方、IR-45のアニオン交換容量は、5.0 meq/g dry resinであるが、その酢酸化物45-No.1のカチオン交換容量は、2.1 meq/g dry resinであり、約59%の未反応の $-NH_2$, $=NH$ が残つていると考えられる。(表2)

(2) 外液中の Ca^{++} 濃度と Ca^{++} の吸着量の関係

Na型樹脂について、外液中の Ca^{++} 濃度と Ca^{++} の吸着量について検討した結果は、表3のごとくで、4B-No.3, 45-No.1どちらも、溶液の濃度が0.2 meq Ca^{++}/cc までは、濃度の低下とともに、徐々に吸着量が減少しているが、0.2 meq/cc以下の濃度になると急にカーブが降下している。

表3 $CaCl_2$ 溶液中の Ca^{++} 濃度の Ca^{++} 吸着量への影響

試料記号	Ca^{++} 濃度				
	0.06	0.113	0.169	0.338	1.69
4B-No.3	4.3	4.84	5.07	5.1	5.6
45-No.1	0.8	1.3	1.6	1.7	2.1

註：単位は meq/g dry resin。 Ca^{++} 濃度は meq/cc $CaCl_2$ soln. pH=5.5~6.0(平衡時)

(3) Na^+ と Ca^{++} の溶液中の当量比と Ca^{++} の吸着率の関係

普通のイオン交換樹脂の中でカルボン酸型のものは、 Ca^{++} 選択性が大であるので、著者らの合成したものと、Amberlite IRC-50を比較検討して見た。

表4 平衡前の $(\text{Na}^+/\text{Ca}^{++})_s$ と $(\text{Ca}^{++}/\text{Na}^++\text{Ca}^{++})_r$ の関係

$\text{Na}^+/\text{Ca}^{++}$	0	0.95	4.75	9.5	14.25
試料記号					
4B-No. 3	0.49	0.41	0.43	0.36	—
45-No. 1	0.39	0.30	0.24	0.13	—

註: 単位は当量比 $(\text{Na}^+/\text{Ca}^{++})_s$ は平衡前の溶液中の Na^+ と Ca^{++} の当量比で $(\text{Ca}^{++}/\text{Na}^++\text{Ca}^{++})_r$ は、平衡時の樹脂中の Ca^{++} の当量分率を表す。

pH=2.8~3.0(平衡時)。樹脂は、H型を用う。

図1は平衡時の溶液中の Na^+ と Ca^{++} の当量比と、 Ca^{++} 吸着率(当量分率)の関係を、Na型樹脂について示したものである。これによると、Na型の 4B-No.3, 45-No.1 は、 $\text{Na}^+/\text{Ca}^{++}$ の比の増加につれて、その Ca^{++} の吸着率は、C-50 のそれに比してその減少の度合がゆるやかである。H型については、表4のごとくであるが、これも同じく、 $\text{Na}^+/\text{Ca}^{++}$ の比の増大につれて、 Ca^{++} 吸着率は減少している。表4には、C-50のH型については、記載しなかったが、Na型と同じくH型でもC-50は、4B-No.3, 45-No.1よりその

Ca^{++} 吸着率が低い。

一般に、図1と表4より、H型の方がNa型に比して、その吸着率が小さいのは、カルボン酸型カチオン交換樹脂が弱電解質であるため、解離部分が少く、交換がおこなわれ難いので当然予想しうるところである。

図2は、平衡時における溶液中の Na^+ と Ca^{++} の当量比と、樹脂の Na^+ に対する Ca^{++} の選択性係数との関係を示したもので、ドンナン吸着による過剰陽イオンの存在は無視されている。選択性係数は〔1〕式より算出されている。これによると、C-50の場合には、 $\text{Na}^+/\text{Ca}^{++}$ の比の増大とともにその選択性係数は、わずか減少している。しかし、4B-No.3, 45-No.1 は、 $\text{Na}^+/\text{Ca}^{++}$ の比の増大とともに逆にその選択性係数は増加している。しかも、C-50の選択性係数よりもかなり大きい値を示している。

この事実から、4B-No.3, 45-No.1は、C-50と同じカルボン酸型樹脂でありながら、全く異った性質を示しており、その交換基と Ca^{++} との結合様式が違っているものと推定される。おそらく著者らの合成したものは、 Ca^{++} とカルボキシル基とが、電離度の小さい配位結合をしているものと推定される。

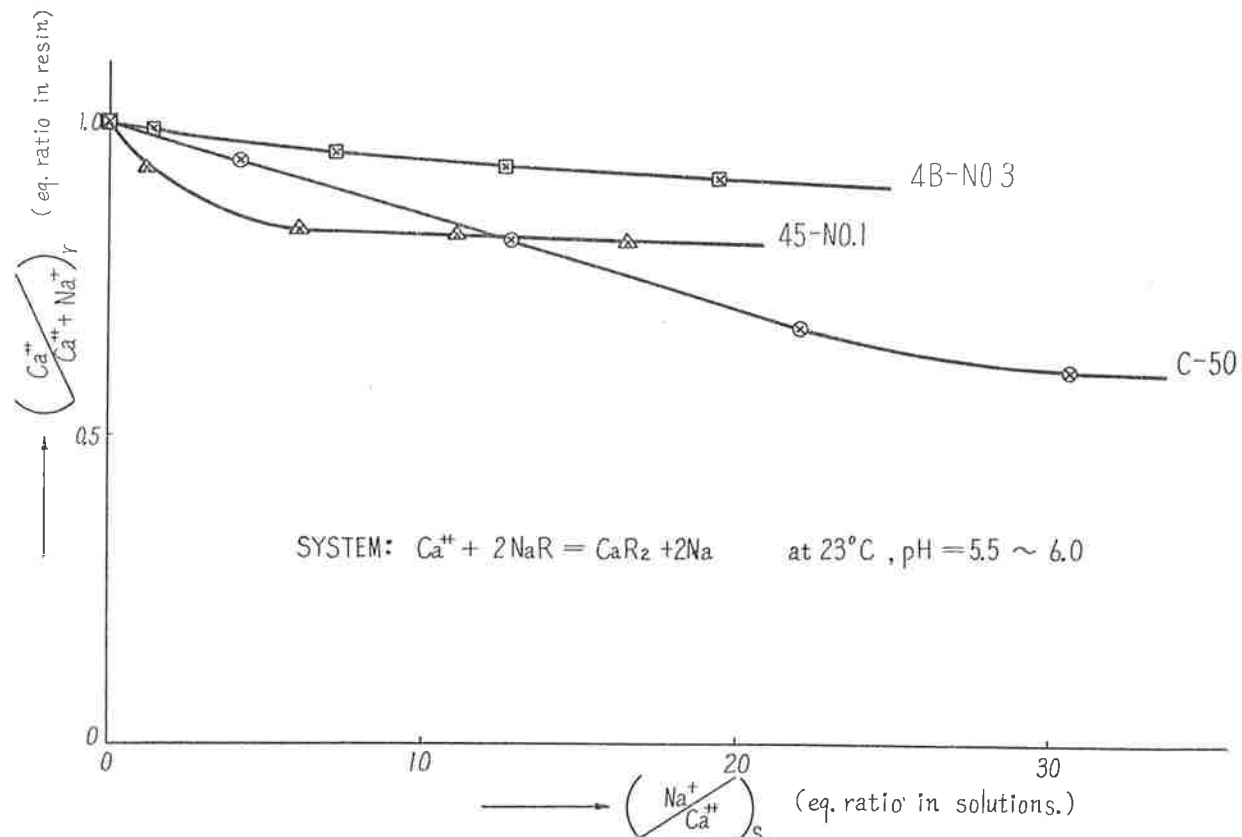


Fig. 1 Selectivities of Weakly acidic cation exchangers in mixed solutions of NaCl and CaCl_2 at equilibrium.

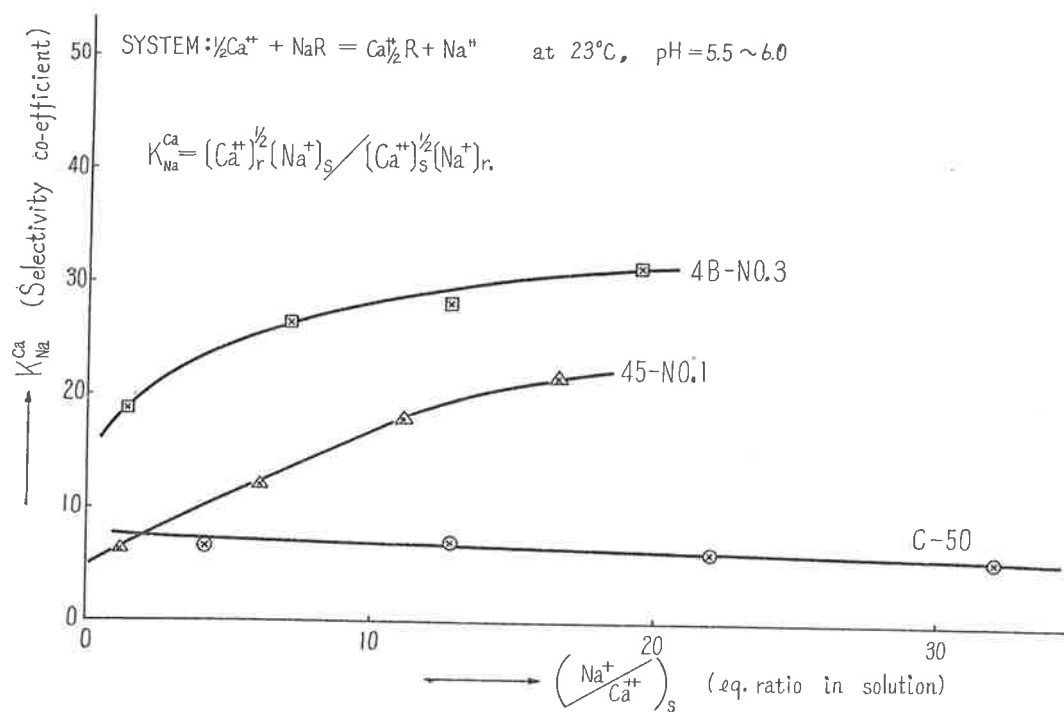


Fig. 2 Selectivity co-efficient of Ca-Na exchange for Weakly acidic cation exchangers in mixed solutions of NaCl and CaCl_2 at equilibrium.

(4) 海水中の Mg^{++} , Ca^{++} の選択性的吸着率のpHによる影響

図3は、4B-No.3, 45-No.1, C-50のNa型, H型樹脂の海水中の Ca^{++} , Mg^{++} の選択性吸着率とpHの関係を示したものである。これによると45-No.1, C-50は、pH = 4までは、pHの低下とともになだらかなカーブを描いて、その吸着率が減少しているが、pH = 4から急に吸着率が減少している。一方4B-No.3は、pH = 3までは徐々に、pH = 3以下では、急にその吸着率が減少している。また、海水中では、一般的にその吸着量が人工かん水中よりも低くなっている。例えば、4B-No.3は、海水中では人工かん水と同じpH = 5.5~6.0の点で、 Ca^{++} , Mg^{++} 吸着率は84%（総イオン濃度は0.55meq/c.c.）であるが、人工かん水中では、海水中の二価イオンと一価イオンの当量比の同じ $\text{Na}^+/\text{Ca}^{++} = 5$ の点では、吸着率は95%（総イオン濃度2 meq/c.c.）である。しかし、いずれにしても4B-No.3はpH = 3~14の間では、80%以上の Ca^{++} , Mg^{++} を樹脂内に吸着する。海水は、普通pH = 8.3~8.4であるが、この時の4B-No.3, 45-No.1, C-50の吸着率は、Na型で、85.0, 65.0, 55.0%で、その時の平衡関係から①式より選択性係数を求めるとき、3.5, 2.6, 1.2（単位： $\sqrt{\text{g}/\text{c.c.}}$ ）となり、著者らの合成したものは、C-50よりはその Ca^{++} , Mg^{++} 選択性がよいといえる。

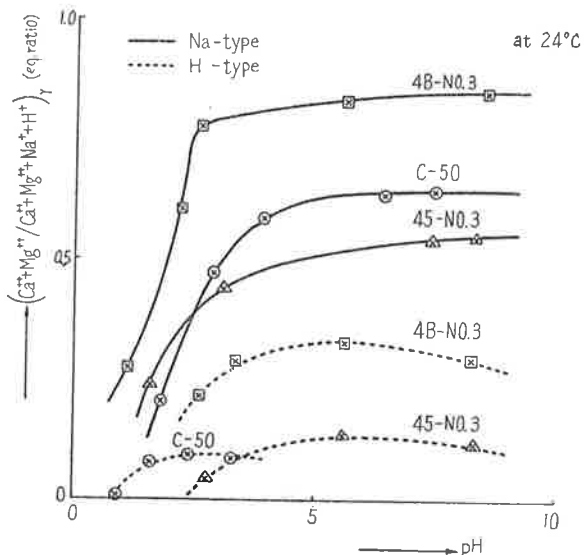


Fig. 3 The effect of pH for selectivity of Mg^{++} , Ca^{++} in the sea-water. (for Weakly acidic exchangers).

図4は、海水中での Ca^{++} , Mg^{++} の二価イオン間の選択性とpHとの関係を示したものである。これによると、海水中では Ca^{++} と Mg^{++} との比、 $\text{Mg}^{++}/\text{Ca}^{++} = 5$ であったものが、樹脂内では、pH = 3以上では、45-No.1は、2.5~2.75, 4B-No.3では、3.25~3.75, C-50では、3~3.5と、いずれの場合も、 Ca^{++} の方が Mg^{++} よりも、より濃縮されている。これは、 Ca^{++} の方が Mg^{++} よりも、そのイオンの水和

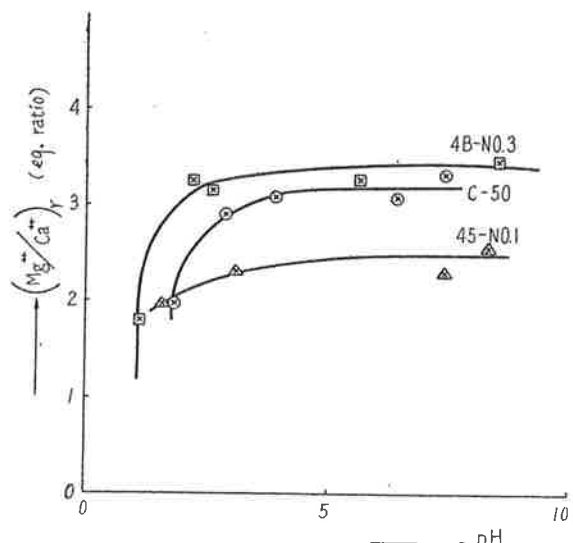


Fig. 4 The effect of pH for $(\text{Mg}^{++}/\text{Ca}^{++})_r$ in resins for Weakly acidic exchangers in the sea-water.

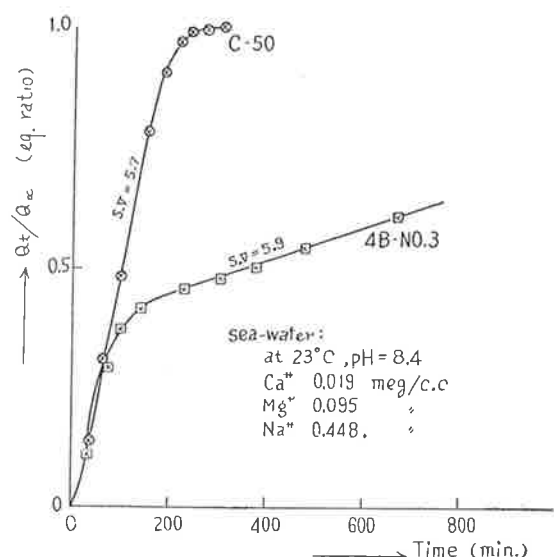


Fig. 5 $\text{Ca}^{++}, \text{Mg}^{++}$ exchange rates in the sea-water for Weakly acidic cation exchangers.

エネルギーが小さいために、 Ca^{++} の方がより吸着されたのだと、推定される。

(5) 海水中の $\text{Mg}^{++}, \text{Ca}^{++}$ の交換速度

図5は、4B-No.3, C-50のNa型樹脂の海水中の $\text{Mg}^{++}, \text{Ca}^{++}$ との交換速度を、定性的に、調べ比較したものである。これによると、C-50は、約300分で飽和量に達しているが、4B-No.3は、300分で飽和時の交換容量の50%しか、反応しておらず、C-50に比較してその交換速度は遅い。

3. むすび

以上、IR-4B, IR-45をモノクロール酢酸と縮合させ、選択吸着樹脂を製造し、その $\text{Ca}^{++}, \text{Mg}^{++}$ に対する選択性を、C-50と比較検討した。

(1) $\text{Ca}^{++}, \text{Mg}^{++}$ 選択性は、非常によく、 Na^{+} 濃度の高い溶液中で、異常に大きい。

(2) pH有効使用範囲が3--14で、一般樹脂より広い。pH=3以上では、海水中より、総吸着量の80%以上の $\text{Ca}^{++}, \text{Mg}^{++}$ を吸着する。

(3) H型では、実用的でないところに難点がある。すなわち、Na型でなければ、その交換容量および、交換速度が、大きくない。ゆえにその再生にアルカリを必要とする。

4. 参考文献

- (1) Schwartzenbach, Ackermann ; *Helv. Chim. Acta.* 31, 1029 (1948)
- (2) V. A. Klyachko ; *Doklady Akad. Nauk. S. S. R.*, 81, 235~7 (1951)
- (3) 水町邦彦, 本田雅健; 化学の領域, Vol. 9 No.4 (1955)
- (4) A. H. Loveless, J. K. Botlomley ; *B. I. O. S. Trip.* 2326